

---

# Lucy-n : une extension n-synchrone de Lustre

---

Louis Mandel

Florence Plateau

Marc Pouzet

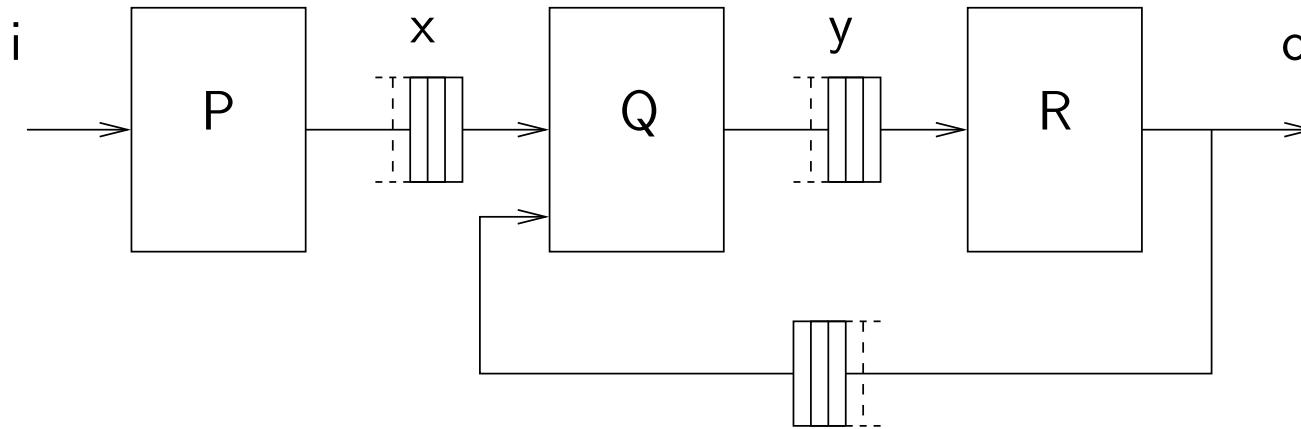
{mandel,plateau,pouzet}@lri.fr

Laboratoire de Recherche en Informatique, équipe Proval  
Université Paris-Sud 11

JFLA – 02/02/2010

# Réseaux de Kahn [Gilles Kahn, 1974]

---



Si l'on dispose de buffers de taille suffisante, et si les programmes sont déterministes, alors le réseau est déterministe.

# Programmer des réseaux de Kahn

---

Problème : calculer les tailles suffisantes pour les buffers

- Risque de perte de données, de blocages
- Parfois, nécessité de buffers infinis

Objectif :

- Rejet des réseaux à buffers infinis
- Dimensionnement automatique des buffers

Travaux connexes :

- Synchronous Data Flow et variantes [Lee *et al.*] [Buck]
- Ordonnancement [Carlier, Chretienne] [Baccelli, Cohen, Quadrat]
- Network Calculus [Cruz], Realtime Calculus [Thiele *et al.*]

## Le modèle synchrone flot de données

---

Programmation de réseaux de Kahn sans buffers :

- Consommation instantanée des données produites
- Langages de programmation Lustre, Signal, Lucid Synchrone
- Garanties fortes : mémoire bornée, absence de blocage

Mais : communication sans buffers parfois trop restrictive  
(e.g. applications multimédia)

# **Le modèle n-synchrone : programmation de réseaux de Kahn à mémoire bornée**

---

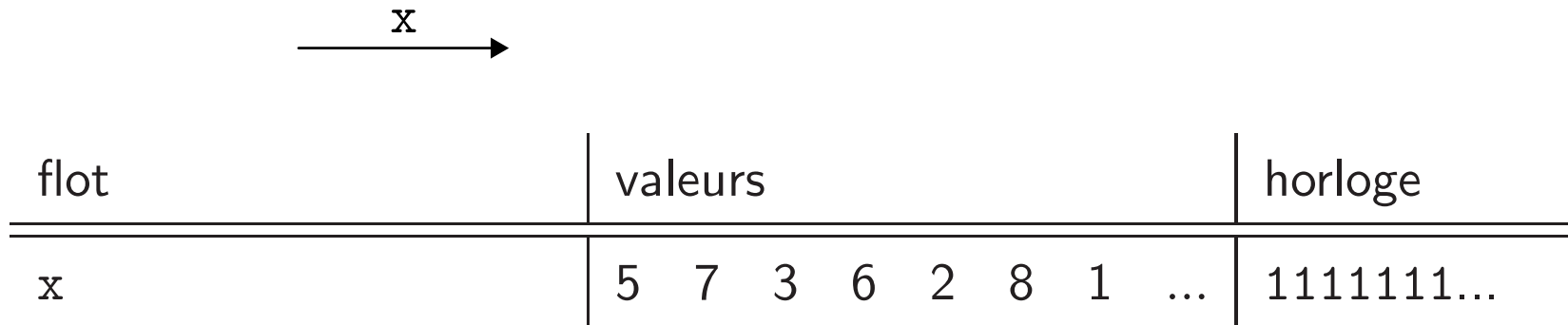
Méthodes automatiques à la compilation pour

- Accepter de stocker les données dans des buffers
- Rejeter les réseaux qui nécessitent une mémoire infinie
- Calculer les rythmes d'activation des différents nœuds de calcul
- Calculer les tailles des buffers nécessaires

Plus de flexibilité, autant de garanties

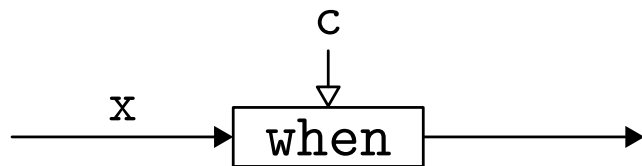
# Un noyau synchrone flot de données

---



# Un noyau synchrone flot de données

## Échantillonnage



flot	valeurs	horloge
x	5 7 3 6 2 8 1 ...	1111111...
c	1 0 1 0 1 0 1 ...	
x when c	5 3 2 1 ...	1010101...

$$\text{horloge}(x \text{ when } c) = \text{horloge}(x) \text{ on } c$$

Opérateur *on* :

$$0.w_1 \text{ on } w_2 \stackrel{\text{def}}{=} 0.(w_1 \text{ on } w_2)$$

$$1.w_1 \text{ on } 1.w_2 \stackrel{\text{def}}{=} 1.(w_1 \text{ on } w_2)$$

$$1.w_1 \text{ on } 0.w_2 \stackrel{\text{def}}{=} 0.(w_1 \text{ on } w_2)$$

# Un noyau synchrone flot de données

## Échantillonnage



flot	valeurs	horloge
x	5 7 3 6 2 8 1 ...	1111111...
c	1 0 1 0 1 0 1 ...	
x when c	5 3 2 1 ...	1010101...
c'	1 0 1 1 ...	
(x when c) when c'	5 2 1 ...	1000101...

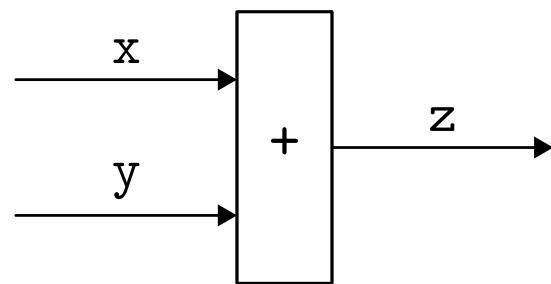
$$\text{horloge}((x \text{ when } c) \text{ when } c') = \text{horloge}(x \text{ when } c) \text{ on } c'$$

Opérateur *on* :

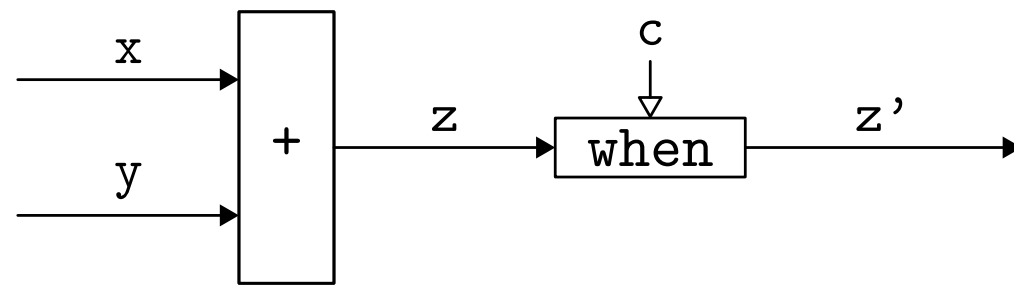
$$0.w_1 \text{ on } w_2 \stackrel{\text{def}}{=} 0.(w_1 \text{ on } w_2)$$

$$1.w_1 \text{ on } 1.w_2 \stackrel{\text{def}}{=} 1.(w_1 \text{ on } w_2)$$

$$1.w_1 \text{ on } 0.w_2 \stackrel{\text{def}}{=} 0.(w_1 \text{ on } w_2)$$



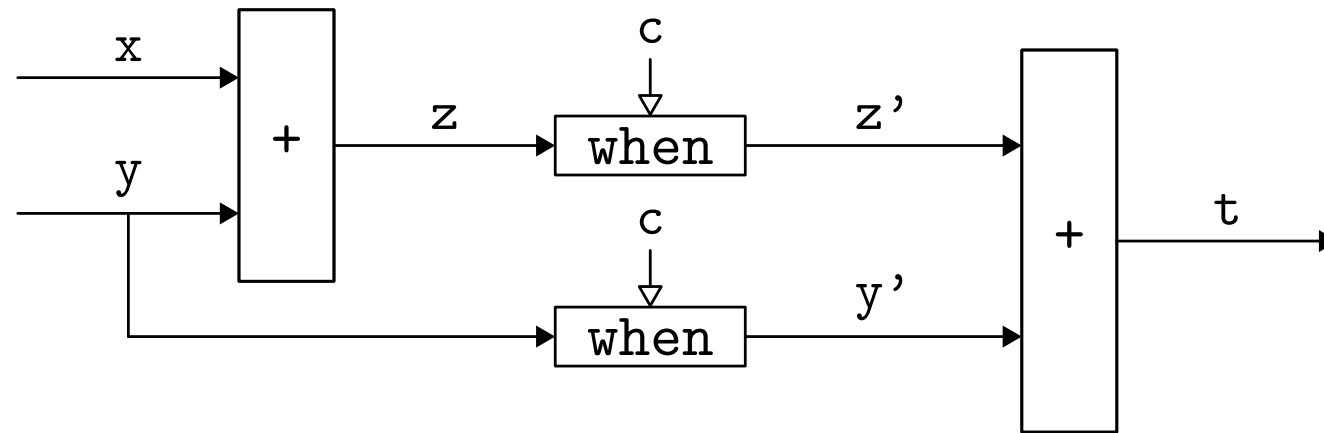
flot	valeurs	horloge
x	5 7 3 6 2 8 1 ...	111111...
y	3 2 1 5 4 1 7 ...	111111...
$z = x + y$	8 9 4 11 6 9 8 ...	111111...



flot	valeurs	horloge
x	5 7 3 6 2 8 1 ...	111111...
y	3 2 1 5 4 1 7 ...	111111...
$z = x + y$	8 9 4 11 6 9 8 ...	111111...
c	1 0 1 0 1 0 1 ...	
$z' = z \text{ when } c$	8 4 6 8 ...	101010...

# Un noyau synchrone flot de données

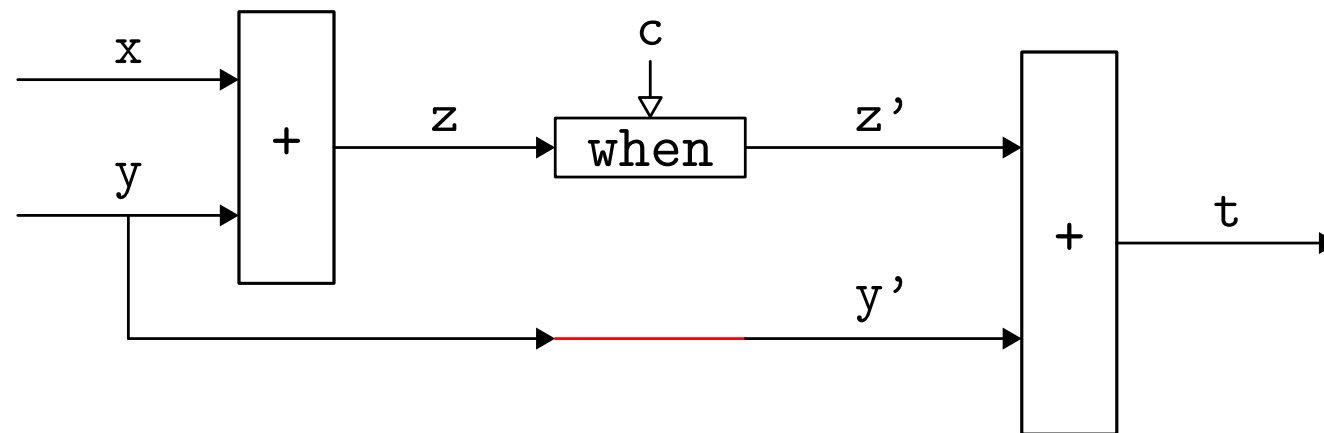
## Opérateurs scalaires



flot	valeurs	horloge
x	5 7 3 6 2 8 1 ...	111111...
y	3 2 1 5 4 1 7 ...	111111...
$z = x + y$	8 9 4 11 6 9 8 ...	111111...
c	1 0 1 0 1 0 1 ...	
$z' = z \text{ when } c$	8 4 6 8 ...	101010...
$y' = y \text{ when } c$	3 1 4 7 ...	101010...
$t = z' + y'$	11 5 10 15 ...	101010...

# Un noyau synchrone flot de données

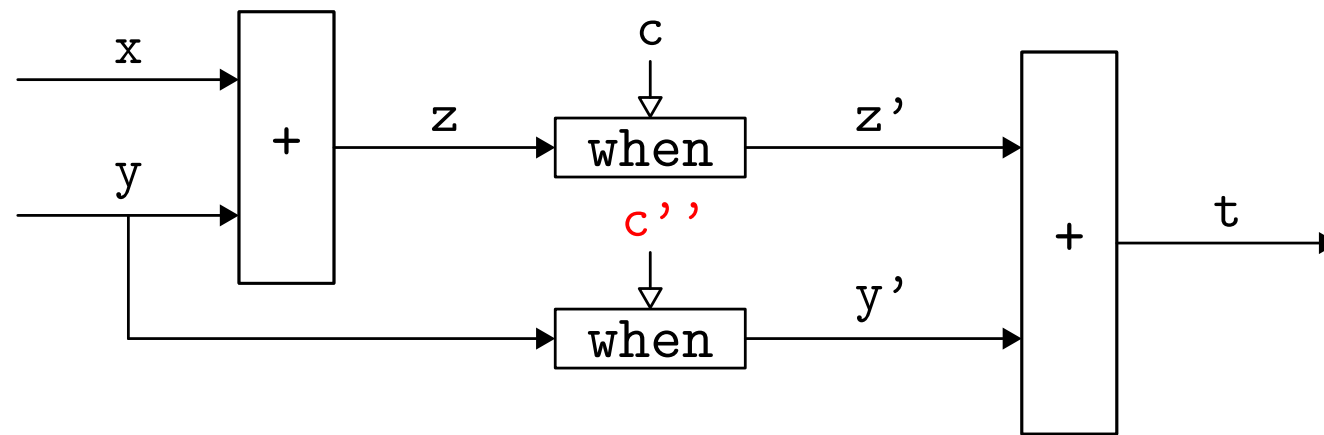
## Opérateurs scalaires



flot	valeurs	horloge
x	5 7 3 6 2 8 1 ...	111111...
y	3 2 1 5 4 1 7 ...	111111...
$z = x + y$	8 9 4 11 6 9 8 ...	111111...
c	1 0 1 0 1 0 1 ...	
$z' = z \text{ when } c$	8 4 6 8 ...	101010...
$y' = y$	3 2 1 5 4 1 7 ...	111111...
$t = z' + y'$	rejeté	

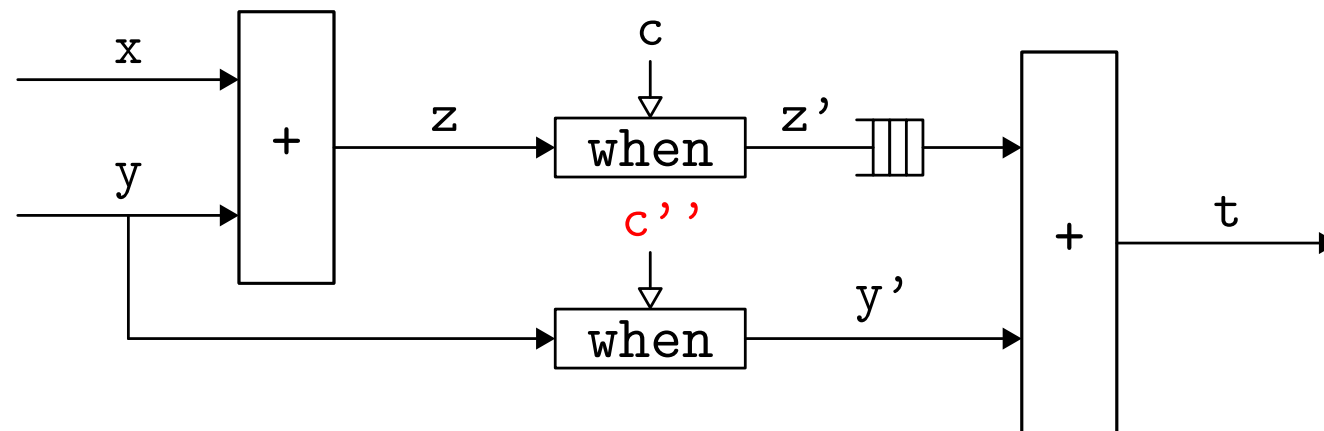
# Un noyau synchrone flot de données

## Opérateurs scalaires



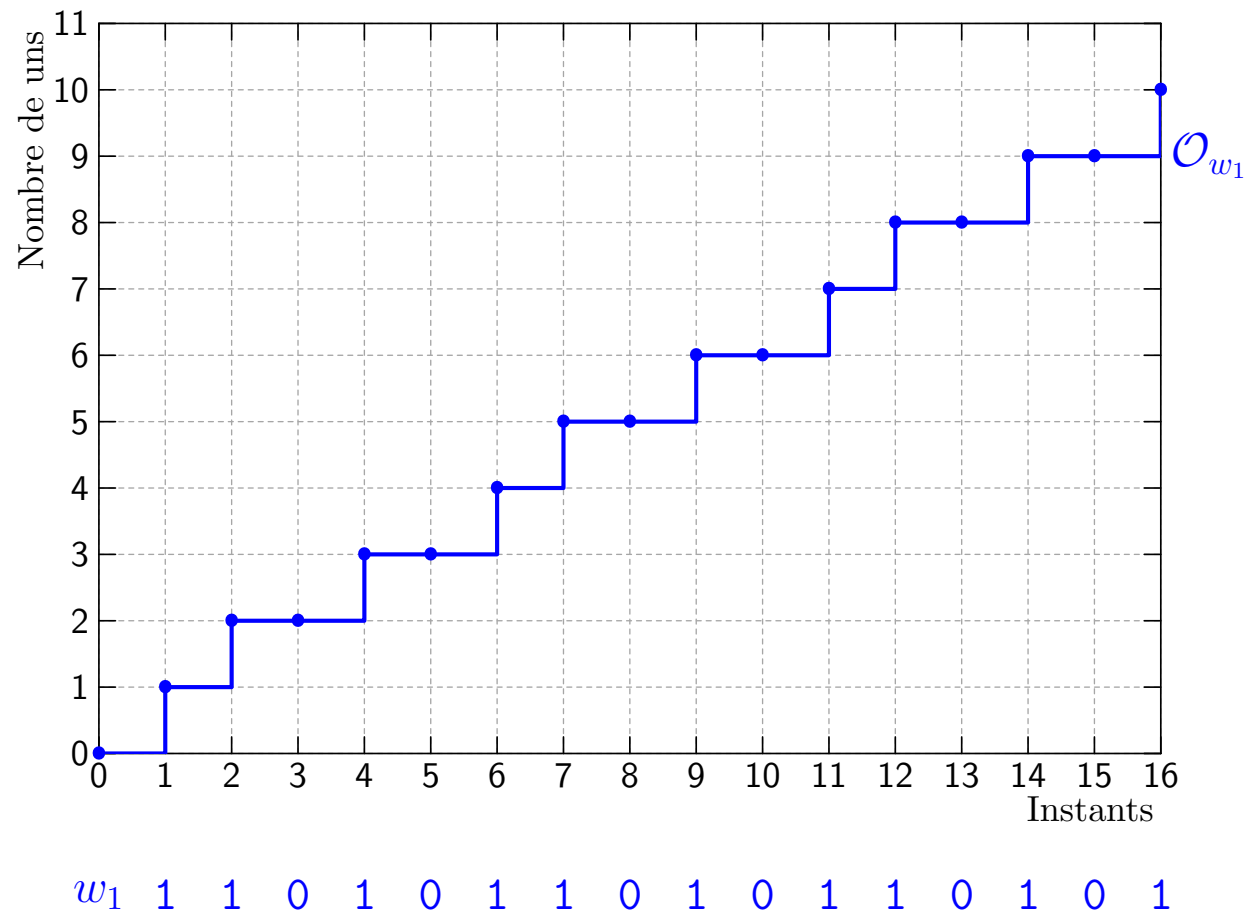
flot	valeurs	horloge
x	5 7 3 6 2 8 1 ...	111111...
y	3 2 1 5 4 1 7 ...	111111...
$z = x + y$	8 9 4 11 6 9 8 ...	111111...
c	1 0 1 0 1 0 1 ...	
$z' = z \text{ when } c$	8 4 6 8 ...	101010...
$y' = y \text{ when } c''$	2 5 1 ...	010101...
$t = z' + y'$	rejeté	

# Extension n-synchrone : opérateur de bufferisation



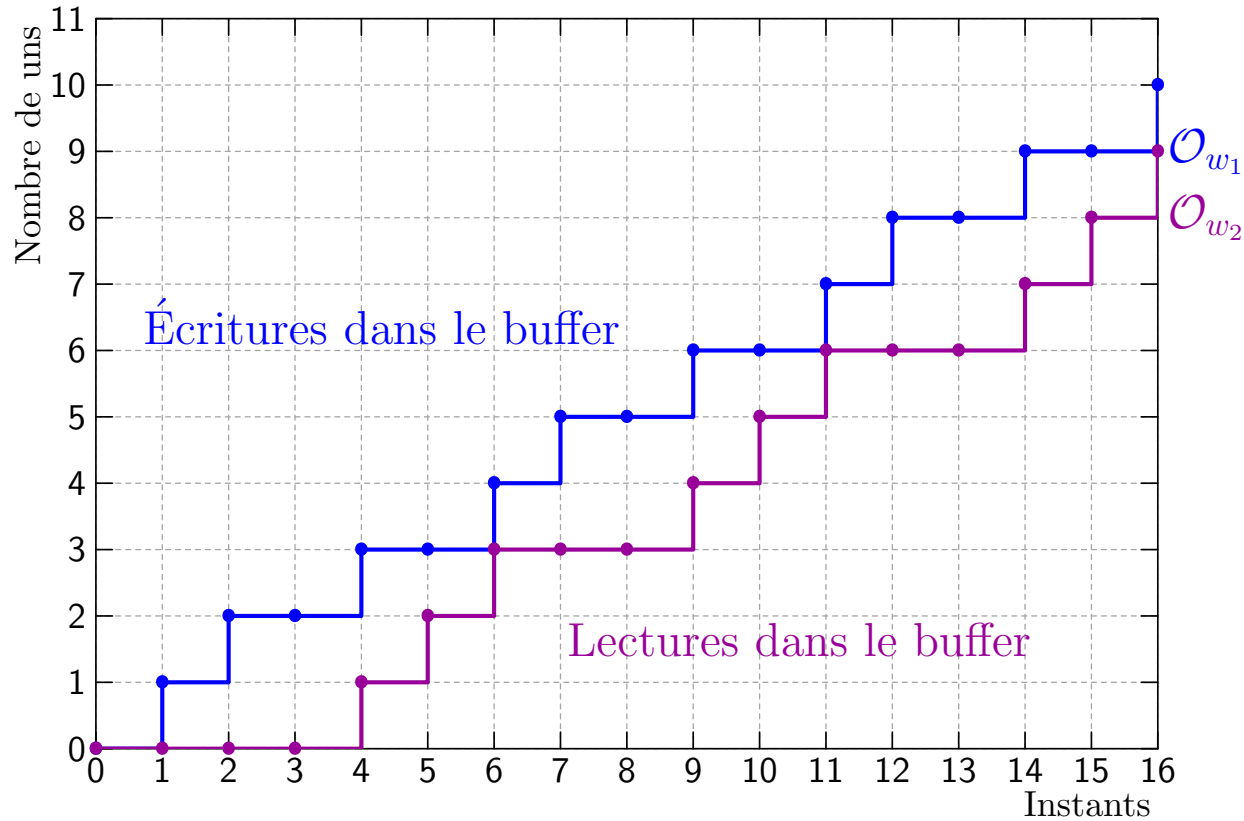
flot	valeurs	horloge
$z' = z \text{ when } c$	8 4 6 8 ...	101010...
$z'' = \text{buffer}(z')$	8 4 6 ...	010101...
$y' = y \text{ when } c''$	2 5 1 ...	010101...
$t = z'' + y'$	10 9 7 ...	010101...

- Relation d'adaptabilité  $\Rightarrow$  communication par buffer borné
- Exemple : 101010... <: 010101...



$\mathcal{O}_{w_1}$ : fonction de cumul du mot  $w_1$

# Relation d'adaptabilité



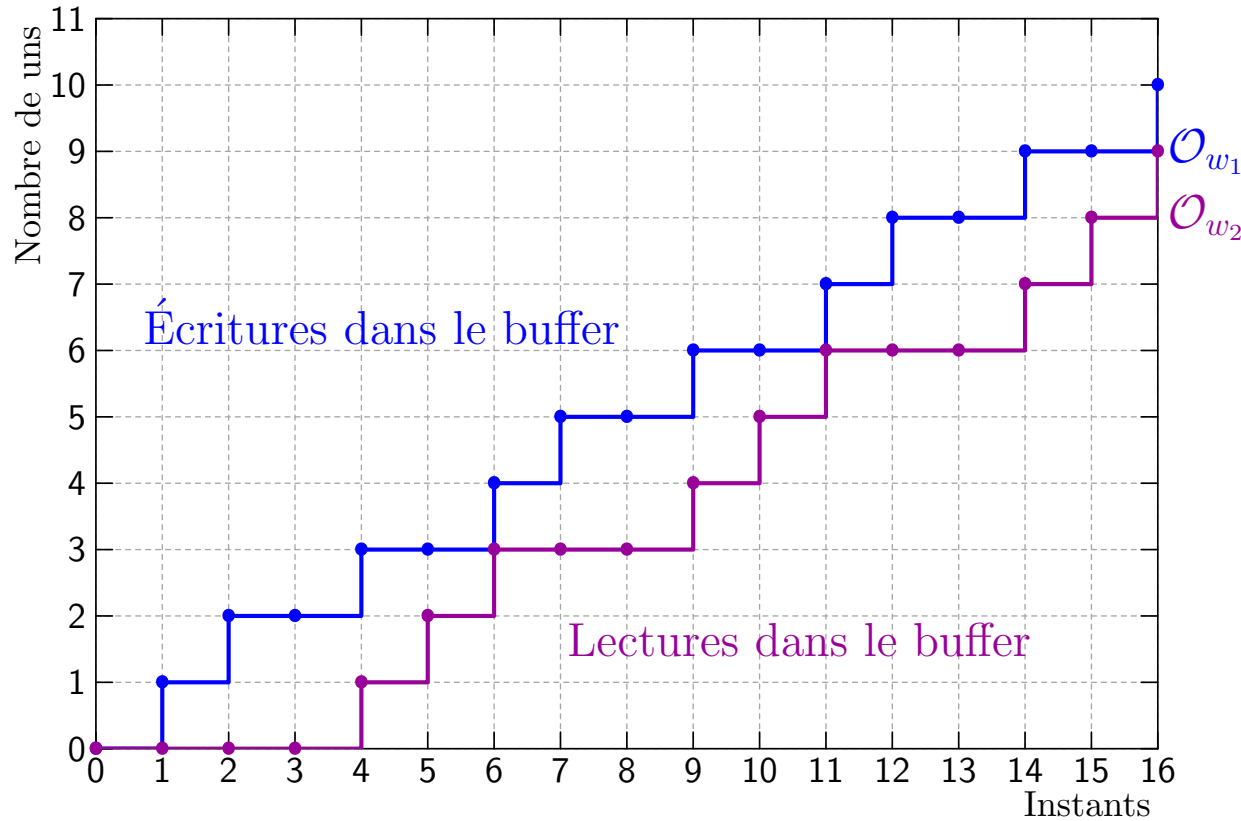
taille du buffer

$$size(w_1, w_2) = \max_{i \in \mathbb{N}} (\mathcal{O}_{w_1}(i) - \mathcal{O}_{w_2}(i))$$

adaptabilité

$$w_1 <: w_2 \stackrel{\text{def}}{\iff} \exists n \in \mathbb{N}, \forall i, 0 \leq \mathcal{O}_{w_1}(i) - \mathcal{O}_{w_2}(i) \leq n$$

# Relation d'adaptabilité



taille du buffer

$$size(w_1, w_2) = \max_{i \in \mathbb{N}} (\mathcal{O}_{w_1}(i) - \mathcal{O}_{w_2}(i))$$

adaptabilité

$$w_1 <: w_2 \stackrel{\text{def}}{\iff} \exists n \in \mathbb{N}, \forall i, 0 \leq \mathcal{O}_{w_1}(i) - \mathcal{O}_{w_2}(i) \leq n$$

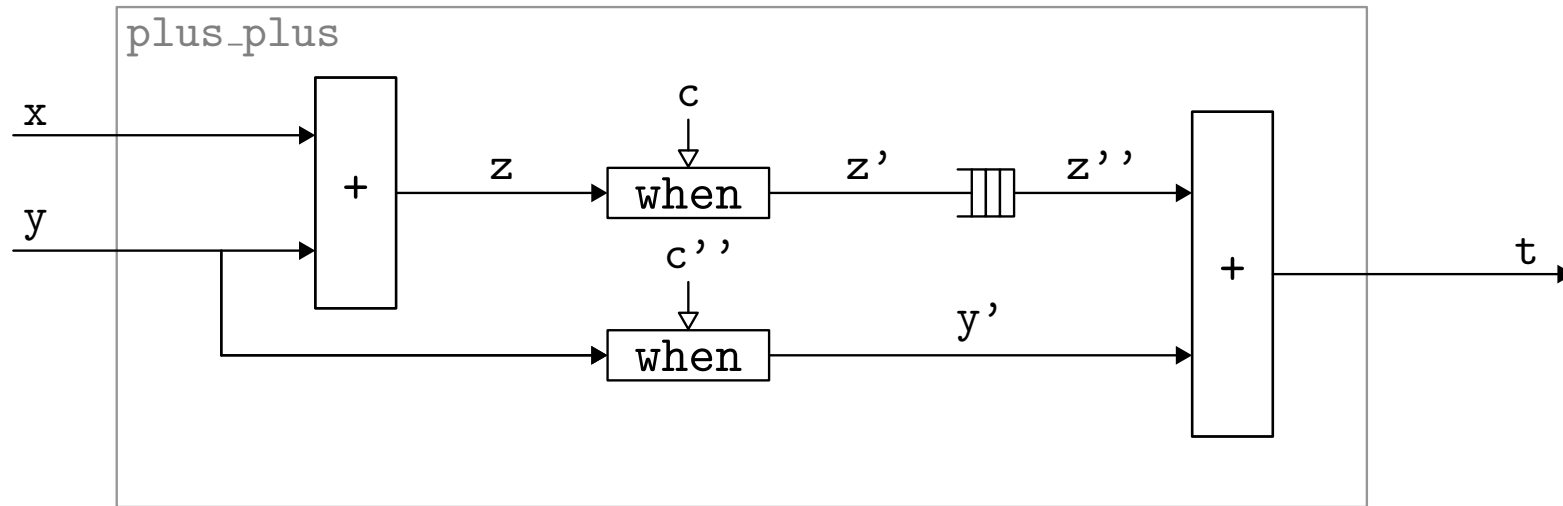
synchronisabilité

$$w_1 \bowtie w_2 \stackrel{\text{def}}{\iff} \exists b_1, b_2 \in \mathbb{Z}, \forall i, b_1 \leq \mathcal{O}_{w_1}(i) - \mathcal{O}_{w_2}(i) \leq b_2$$

précédence

$$w_1 \preceq w_2 \stackrel{\text{def}}{\iff} \forall i, \mathcal{O}_{w_1}(i) \geq \mathcal{O}_{w_2}(i)$$

# Typage



```
4 let node plus_plus (x,y) = t where
5   rec z = x + y
6   and z' = z when c
7   and z''= buffer(z')
8   and y' = y when c''
9   and t = z'' + y'
```

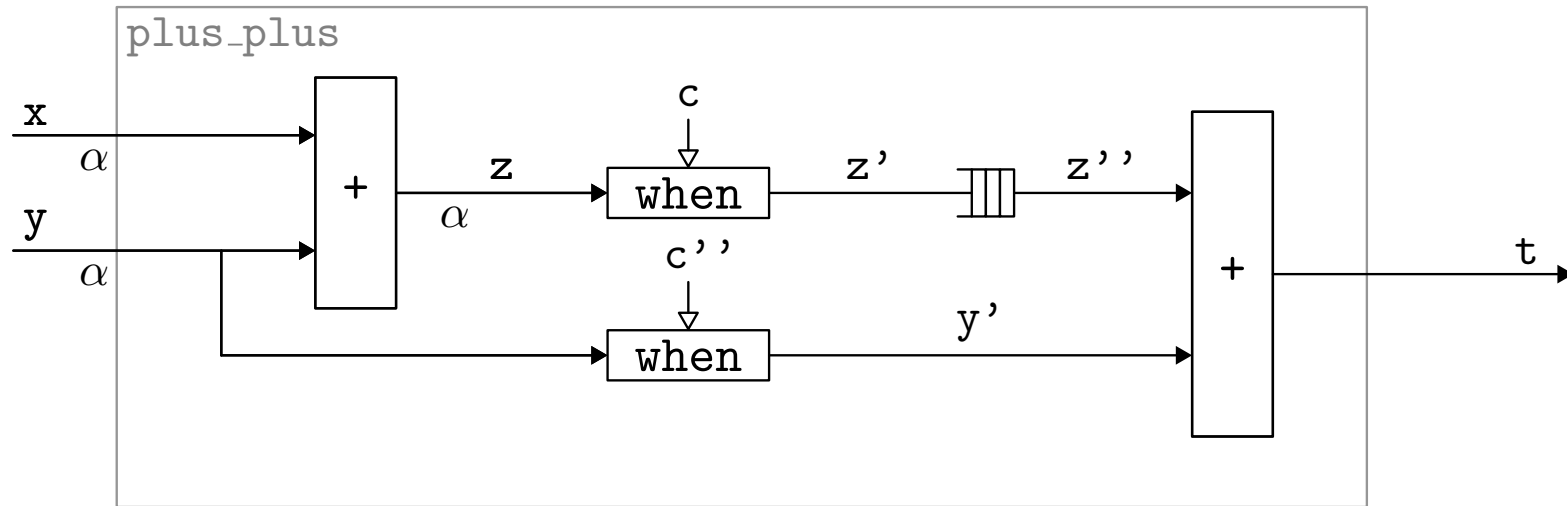
*val plus\_plus : (int \* int) -> int*

*val plus\_plus :: forall 'a. ('a \* 'a) -> 'a on c''*

*Buffer line 7, characters 11-21: size = 1*

# Typage

---



```

4 let node plus_plus (x,y) = t where
5   rec z = x + y
6   and z' = z when c
7   and z''= buffer(z')
8   and y' = y when c''
9   and t = z'' + y'

```

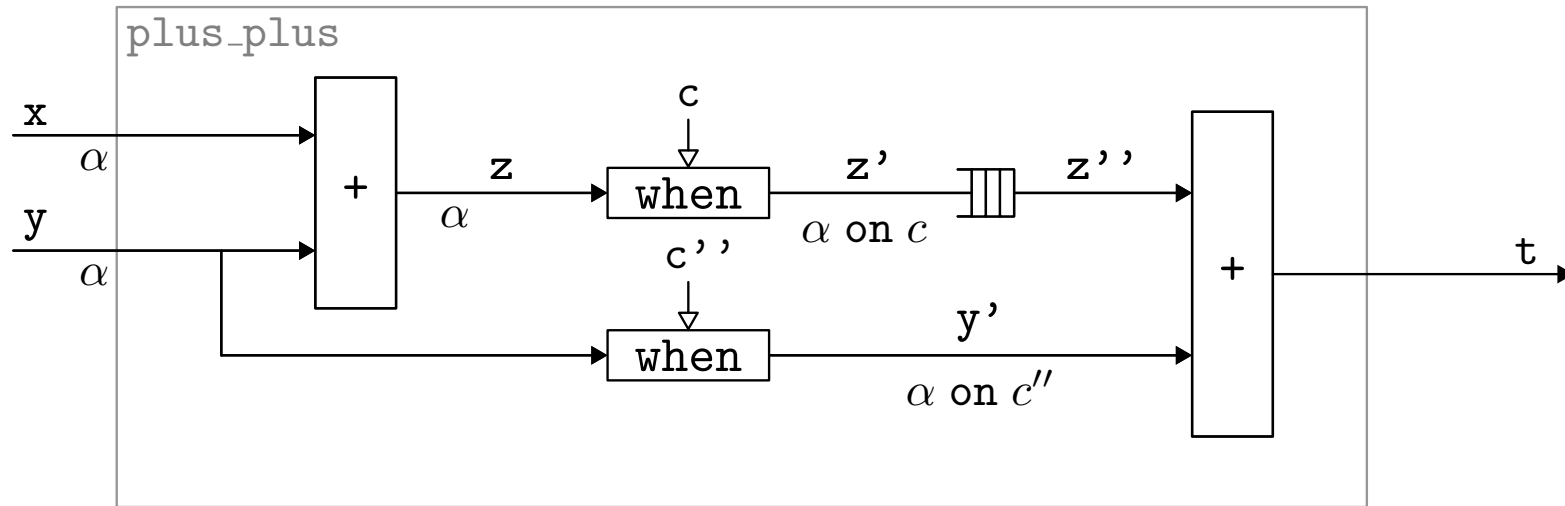
*val plus\_plus : (int \* int) -> int*

*val plus\_plus :: forall 'a. ('a \* 'a) -> 'a on c''*

*Buffer line 7, characters 11-21: size = 1*

# Typage

---



```

4 let node plus_plus (x,y) = t where
5   rec z = x + y
6   and z' = z when c
7   and z''= buffer(z')
8   and y' = y when c''
9   and t = z'' + y'

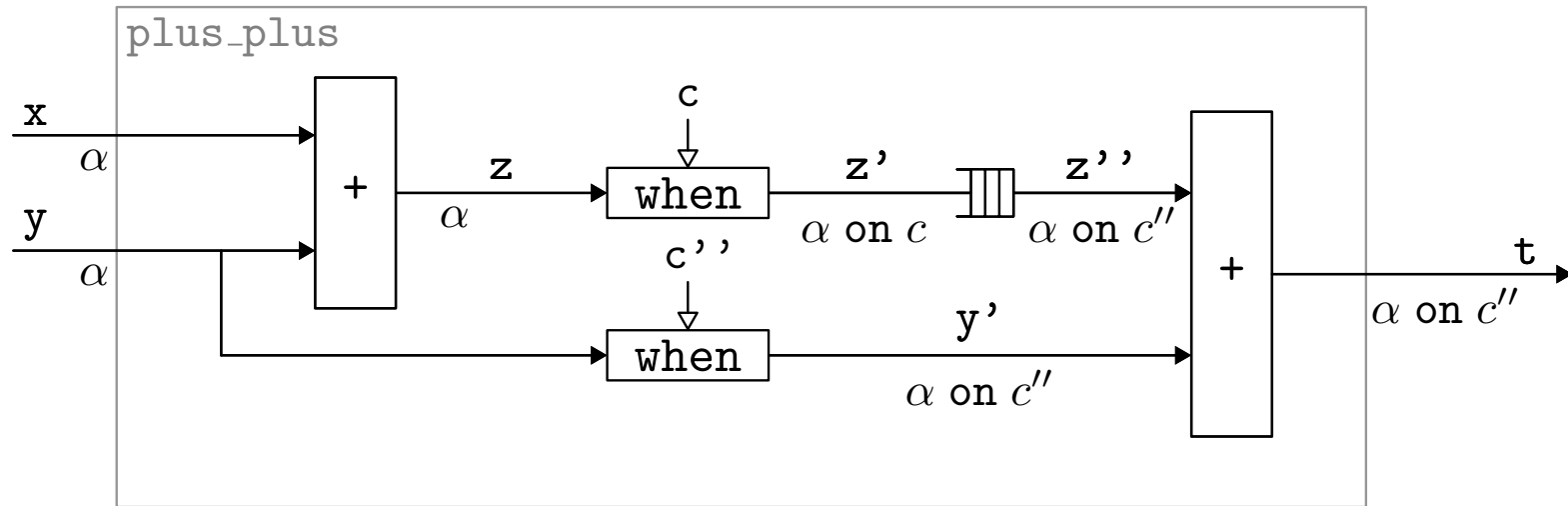
```

*val plus\_plus : (int \* int) -> int*

*val plus\_plus :: forall 'a. ('a \* 'a) -> 'a on c''*

*Buffer line 7, characters 11-21: size = 1*

# Typage



```

4 let node plus_plus (x,y) = t where
5   rec z = x + y
6   and z' = z when c
7   and z''= buffer(z')
8   and y' = y when c''
9   and t = z'' + y'

```

*val plus\_plus : (int \* int) -> int*

*val plus\_plus :: forall 'a. ('a \* 'a) -> 'a on c''*

*Buffer line 7, characters 11-21: size = 1*

- Types d'horloges :

$$\sigma ::= \forall \alpha_1, \dots, \alpha_n. (ck \times \dots \times ck) \rightarrow (ck \times \dots \times ck)$$

$$ck ::= \alpha \quad | \quad ck \text{ on } ce \quad | \quad ck \text{ on not } ce$$

- Exemple :

$$H \vdash e : ck$$


---

$$H \vdash e \text{ when } ce : ck \text{ on } ce$$

- Contraintes :

$$C ::= \{ck_1 = ck_2\} \cup C \quad | \quad \{ck_1 <: ck_2\} \cup C \quad | \quad \emptyset$$

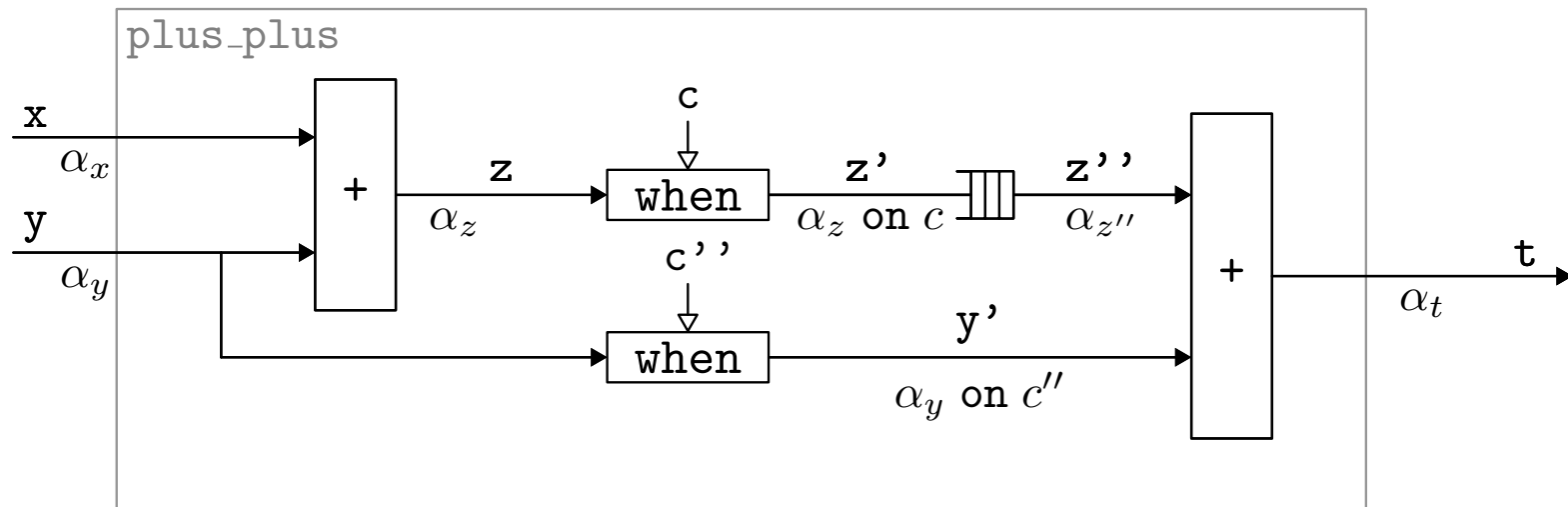
Collection des contraintes

- d'égalité :

$$\frac{H \vdash e_1 : ck_1 \mid C_1 \quad H \vdash e_2 : ck_2 \mid C_2}{H \vdash e_1 + e_2 : \alpha \mid \{ck_1 = ck_2 = \alpha\} \cup C_1 \cup C_2}$$

- de sous-typage :

$$\frac{H \vdash e : ck \mid C}{H \vdash \text{buffer}(e) : \alpha \mid \{ck <: \alpha\} \cup C}$$



$$(\alpha_x \times \alpha_y) \rightarrow \alpha_t \quad \text{tel que} \quad C = \left\{ \begin{array}{l} \alpha_x = \alpha_y = \alpha_z; \\ \alpha_y \text{ on } c'' = \alpha_{z''} = \alpha_t; \\ \alpha_z \text{ on } c <: \alpha_{z''} \end{array} \right\}$$

$$\rightsquigarrow (\alpha \times \alpha) \rightarrow \alpha \text{ on } c'' \quad \text{tel que} \quad C = \left\{ \alpha \text{ on } c <: \alpha \text{ on } c'' \right\}$$

### Résolution des contraintes

- Cas simple :

$$\alpha \text{ on } w_1 \text{ } <: \text{ } \alpha \text{ on } w_2 \iff w_1 \text{ } <: \text{ } w_2$$

$\Rightarrow$  vérification de la relation d'adaptabilité  $w_1 \text{ } <: \text{ } w_2$

- Plus difficile :

$$\alpha_1 \text{ on } w_1 \text{ } <: \text{ } \alpha_2 \text{ on } w_2 \iff \left\{ \begin{array}{l} \alpha_1 \leftarrow \alpha \text{ on } c_1 \\ \alpha_2 \leftarrow \alpha \text{ on } c_2 \\ \alpha \text{ on } c_1 \text{ on } w_1 \text{ } <: \text{ } \alpha \text{ on } c_2 \text{ on } w_2 \end{array} \right.$$

$\Rightarrow$  inférence des rythmes  $c_1$  et  $c_2$  tels que  $c_1 \text{ on } w_1 \text{ } <: \text{ } c_2 \text{ on } w_2$

### Résolution des contraintes

- Cas simple :

$$\alpha \text{ on } w_1 \text{ } <: \text{ } \alpha \text{ on } w_2 \iff w_1 \text{ } <: \text{ } w_2$$

$\Rightarrow$  vérification de la relation d'adaptabilité  $w_1 \text{ } <: \text{ } w_2$

- Plus difficile :

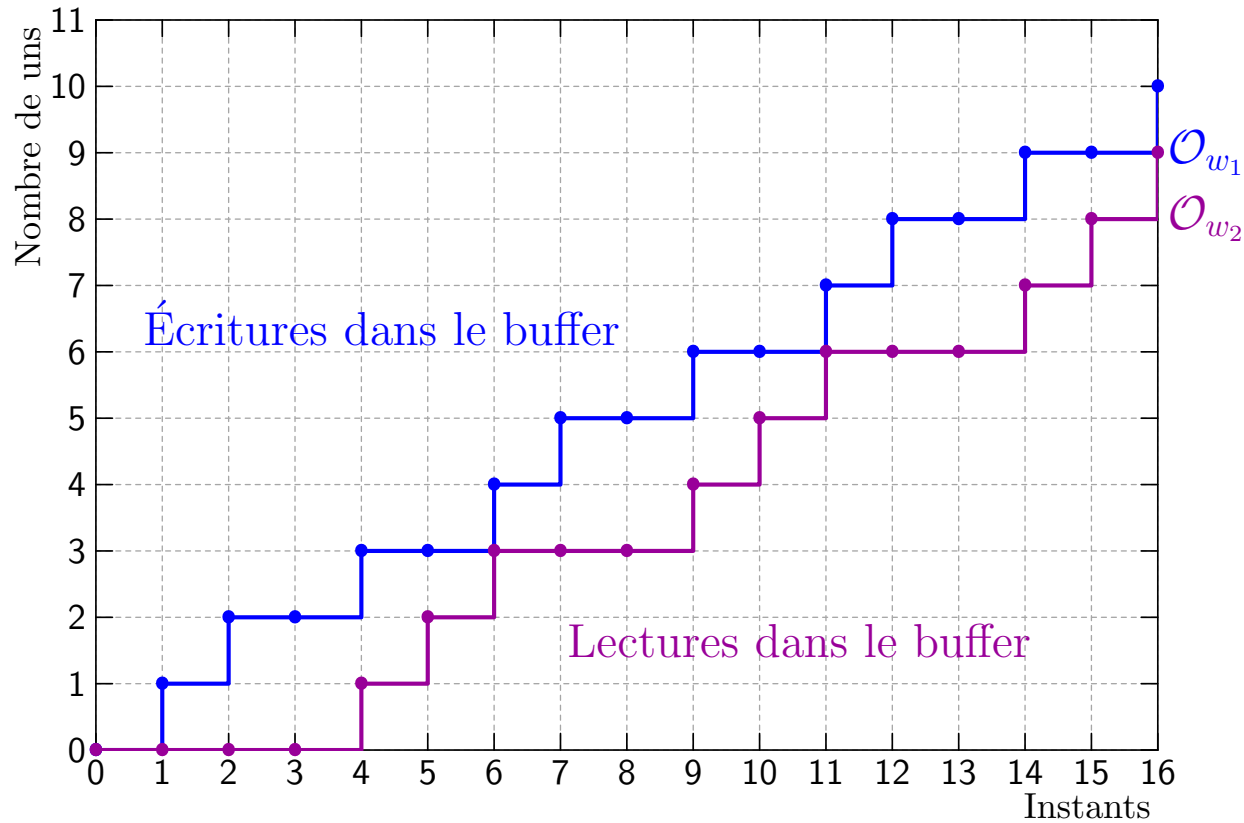
$$\alpha_1 \text{ on } w_1 \text{ } <: \text{ } \alpha_2 \text{ on } w_2 \iff \begin{cases} \alpha_1 \leftarrow \alpha \text{ on } c_1 \\ \alpha_2 \leftarrow \alpha \text{ on } c_2 \\ \alpha \text{ on } c_1 \text{ on } w_1 \text{ } <: \text{ } \alpha \text{ on } c_2 \text{ on } w_2 \end{cases}$$

$\Rightarrow$  inférence des rythmes  $c_1$  et  $c_2$  tels que  $c_1 \text{ on } w_1 \text{ } <: \text{ } c_2 \text{ on } w_2$

### Calcul de la taille du buffer

$$\text{size}(\alpha \text{ on } w_1, \alpha \text{ on } w_2) = \text{size}(w_1, w_2)$$

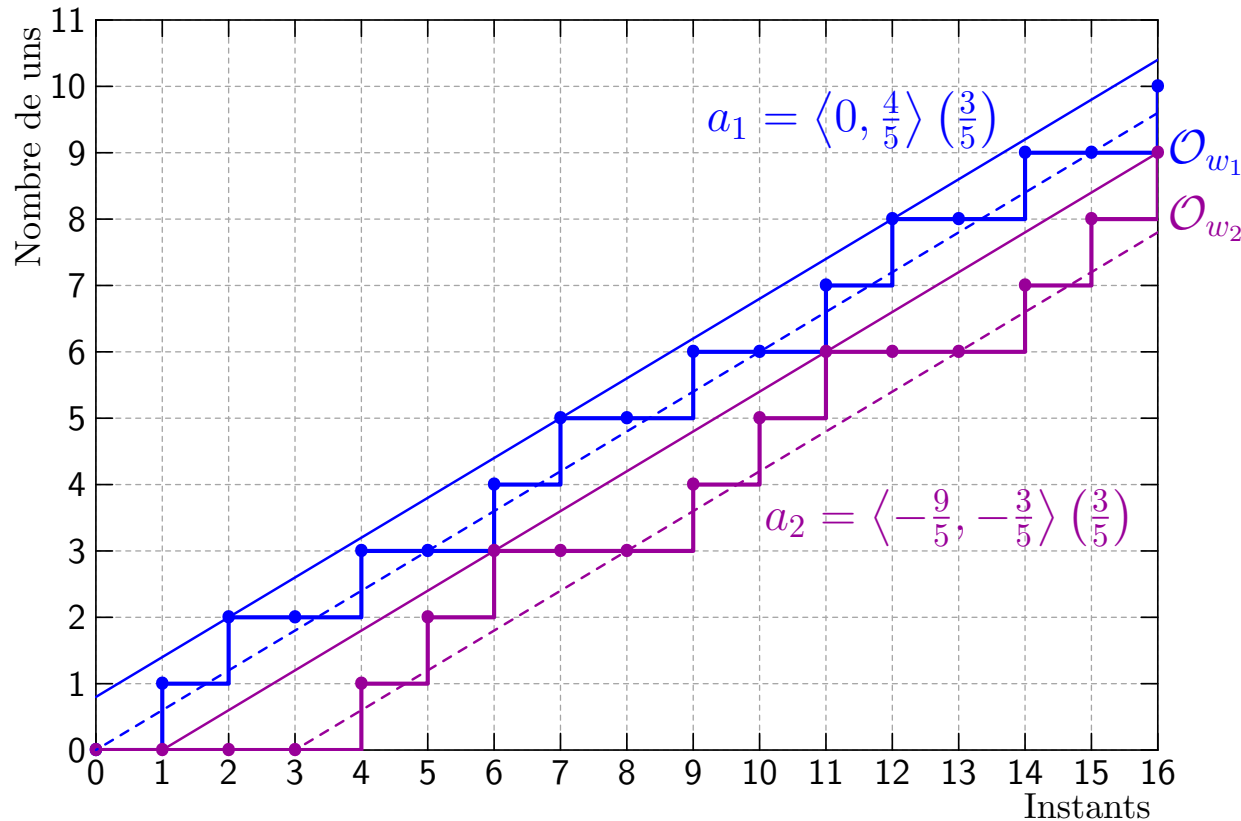
# Langages d'horloges étudiés



Horloges ultimement périodiques :

- test statique :  $(11010) <: 0(00111)$
- inférence des rythmes : résolution d'un ensemble de contraintes linéaires sur les indices des 1 des rythmes à inférer.
- taille du buffer :  $\text{size}((11010), 0(00111)) = 2$

# Langages d'horloges étudiés



Horloges abstraites :

- test statique :  $\left\langle 0, \frac{4}{5} \right\rangle \left( \frac{3}{5} \right) <: \sim \left\langle -\frac{9}{5}, -\frac{3}{5} \right\rangle \left( \frac{3}{5} \right)$
- inférence des rythmes : résolution d'un ensemble de contraintes linéaires sur les abstractions des rythmes à inférer.
- $\text{size}^\sim(\left\langle 0, \frac{4}{5} \right\rangle \left( \frac{3}{5} \right), \left\langle -\frac{9}{5}, -\frac{3}{5} \right\rangle \left( \frac{3}{5} \right)) = 2$

# Conclusion

---

- Modèle n-synchrone :  
composition plus souple des noeuds, sans perte de garanties
- Deux langages d'horloges étudiés
- Algorithme avec abstraction :  
efficace et utilisable sur des horloges pas strictement périodiques
- Algorithmes implémentés dans Lucy-n

# Perspectives

---

- Horloges entières
- Inférence des rythmes sur les horloges périodiques
- Buffers limités, buffers stricts
- Génération de code